

## (587) Cr-Mo-V鉄鋼の長時間クリープ破断挙動と破断性質のはらつきの検討

金属材料技術研究所 新谷紀雄・京野純郎 今井義雄  
池田定雄 横井信

1. 緒言 タービンケーシング用Cr-Mo-V鉄鋼の数万時間にわたるクリープ破断データは、チャージ間に大きな強度のはらつきを示し、かつ長時間側で著しく破断延性が低下していた。本研究では、長時間にわたるこれらの破断試験片について、組織及び破壊様式などを調べ、破断挙動を冶金学的に検討するとともに、破断強度のはらつきの原因について考察した。

2. 実験方法 クリープ破断試験を行った9チャージの中から特徴的な破断性質を示した3チャージを選び供試材とした。その化学成分をTable 1に、熱処理条件をTable 2に示す。組織観察は光顕及び透過電顕により行った。また、破壊様式は光顕及び走査電顕により調べた。

3. 結果 Fig. 1に選択した3チャージの応力-破断時間曲線を示す。クリープ破断強度は低温短時間側でチャージ間に大きなばらつきを示しているが、高温長時間側では強度差はほとんどなくなる。微細組織(Photo.1)をみると、試験前におけるAチャージには粒内に微細な粒状の析出物が均一に分布しているが、B、CチャージではAチャージにほとんどみられなかった針状、あるいはH型析出物が数多く観察された。長時間クリープ破断後では、微細組織のチャージ間の差は減少していた。

このことより、低温短時間側では微細析出物によりAチャージのクリープ破断強度が高くなっているが、高温長時間側になるとしたがって組織の違いによる影響が減少し、強度差はなくなっていくものと思われる。

破壊様式は、低温短時間側ではディンプル型破面を示す粒内破断を、高温長時間側では粒界クリープキャビティの生成、成長合体による粒界破断を示していた。

破断伸びが、Cr-Mo-V鉄鋼ロータリ材の35~10%に対し、本鉄鋼の場合に20~3%と低いのは、キャビティの生成、成長が著しく速いためと考えられる。

Table 1. Chemical composition (wt %).

|   | C    | Si   | Mn   | P     | S     | Ni   | Cr   | Mo   | Cu   | V    | Al    | N      |
|---|------|------|------|-------|-------|------|------|------|------|------|-------|--------|
| A | 0.18 | 0.37 | 0.71 | 0.020 | 0.016 | 0.09 | 1.02 | 1.02 | 0.14 | 0.29 | 0.016 | 0.0064 |
| B | 0.15 | 0.51 | 0.72 | 0.017 | 0.008 | 0.30 | 0.99 | 0.89 | 0.23 | 0.24 | 0.002 | 0.0103 |
| C | 0.14 | 0.34 | 0.67 | 0.014 | 0.006 | 0.11 | 1.02 | 0.98 | 0.09 | 0.23 | 0.003 | 0.0106 |

Table 2. Heat treatment

A: 1050°C x 15h → W.B.C. 730°C x 15h → A.C.

B: 650°C x 10h → 720°C x 20h → F.C.  
1050°C x 15h → B.C. 720°C x 20h → F.C.

C: 1025°C x 8h → A.C. 690°C x 15h → F.C.

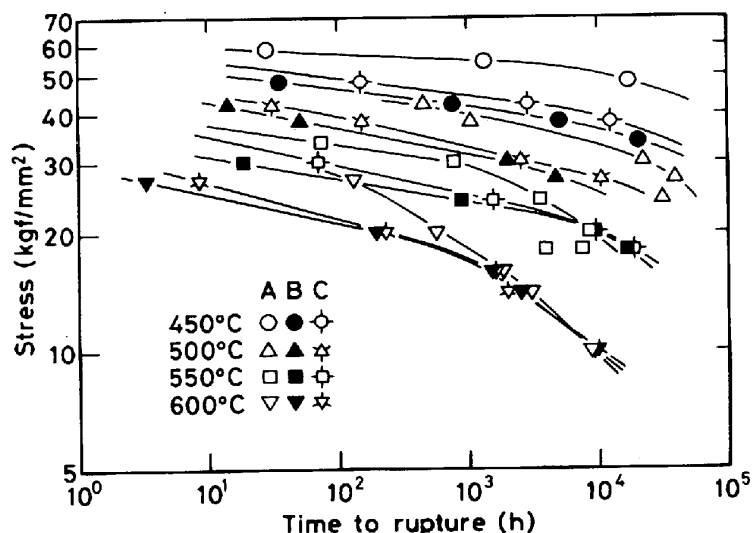


Fig. 1 Stress versus time to rupture for Cr-Mo-V steel casting.



Photo. 1 As-received microstructure (extraction replica)